

# ارزیابی تغییر شرایط محیطی خاک روانگرا بر تونل های پوشش دار

محمد آزادی (استادیار)  
دانشگاه آزاد اسلامی واحد قزوین

سید محمد الدین مردمحمد حسینی (دانشیار)  
دانشکده مهندسی عمران و بحث زیست، دانشگاه صنعتی امیرکبیر

مجله علمی پژوهشی  
دانشگاه آزاد اسلامی  
شماره ۱۳، سال ۷۸  
پژوهش و تئوری  
ص. ۱۱۰-۲۰۳

این نوشتار به بررسی اثر روانگرایی خاک بر تونل های پوشش دار و اثر تغییر شرایط محیطی می پردازد. در این مطالعه سعی شده است با استفاده از مدل رفتاری مناسب برای روانگرایی، اثر تغییر نیروهای پوشش تونل و بالا آمدگی ناشی از روانگرایی مورد بررسی قرار گیرد. برای این منظور از نرم افزار FLAC که قابلیت این نوع مدل سازی را دارد، استفاده شده است. این نوشتار شامل دو بخش اساسی است؛ در بخش اول به معرفی یک مدل مرجع و بررسی اثر روانگرایی خاک در این مدل پرداخته شده است. در بخش دوم نیز با تغییر شرایط محیطی موجود در مدل، نیروهای ایجاد شده در پوشش تونل مورد ارزیابی قرار می گیرد. در این بررسی اثر پارامترهای مختلف بر تغییر نیروها و تغییر شکل های پوشش تونل مورد ارزیابی قرار می گیرد.

ایمیل:  
azadi@aut.ac.ir  
mirh53@yahoo.com

واژگان کلیدی: روانگرایی، تونل، سیکلی، رفتار لرزه‌یی.

## مقدمه

ارتباط با این موضوع نیز مطالعاتی انجام گرفته اما به نظر می رسد که در مورد اثر روانگرایی بر تونل های واقع در خاک های روانگرا این مطالعات محدود و انجام بررسی های بیشتر در این زمینه ضروری است<sup>[۵]</sup>. لذا در این نوشتار بخشی از این موضوع بررسی شده است.

## مشخصات نرم افزار مورد استفاده

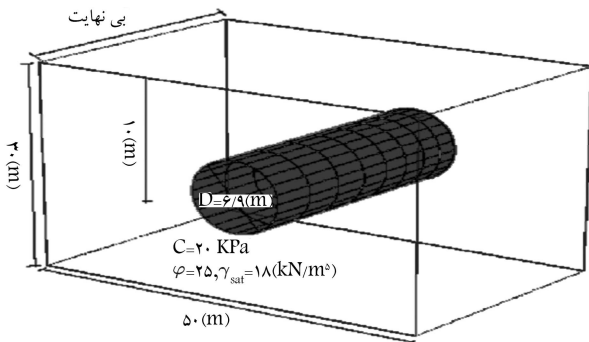
نرم افزار مورد استفاده در این مطالعات FLAC-2D است، که اولین بار در سال (۱۹۸۴) توسط پیتر کوندال برای تحلیل مسائل خاک و سنگ مورد استفاده قرار گرفت<sup>[۶]</sup>. این نرم افزار یک برنامه‌ی دو بعدی براساس تست مؤثر است که قابلیت مدل سازی تحلیل های وابسته‌ی کامل را دارد. این نرم افزار علاوه بر در نظر گرفتن المان های واسطه قابلیت در نظر گرفتن تغییر شکل های بزرگ را نیز دارد. از این رو از این نرم افزار در زمینه‌ی شبیه سازی روانگرایی سیکلی در خلال زلزله نیز استفاده شده است<sup>[۷-۱۰]</sup>.

## روش آنالیز

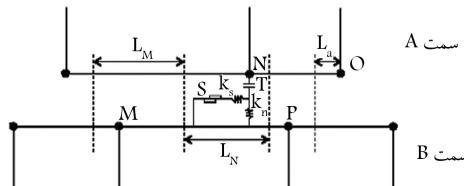
برای مدل سازی ابتدا تونل در محیط مدل شده و تعادل استاتیکی برقرار می شود. در مرحله‌ی بعد محیط تحت یک بار سیکلی در شرایط دینامیکی قرار می گیرد تا مقادیر نیروها و تغییر شکل های مورد بررسی قرار گیرد و اثر روانگرایی خاک بر پوشش

یکی از پدیده هایی که در طبیعت با خسارات فراوانی همراه است، روانگرایی خاک ها است. این پدیده به عنوان یکی از عوامل اساسی گشیختگی در حین زلزله در نظر گرفته می شود. از این رو تاکنون مطالعات وسیعی در ارتباط با روانگرایی خاک های ماسه بی، و حتی ریزدانه ها، در کشورهای مختلف جهان انجام پذیرفته است. مطالعات انجام شده حاکی از آن است که سازه های زیرزمینی در برابر زلزله مقاومت خوبی دارند و خرابی های ناشی از روانگرایی در سازه های زیرزمینی کمتر از سازه های سطحی رخ می دهد. علت این امر ممکن است انعطاف پذیری این سازه ها نسبت به خاک اطراف باشد که سبب می شود سازه در حین زلزله به طور سازگار با خاک اطراف تغییر شکل دهد. اما چنانچه سازه های زیرزمینی نسبت به خاک اطراف صلب تر باشد، سازوکار تغییر شکل های آن متفاوت خواهد بود. از جمله های سازه های زیرزمینی که کاربرد فراوانی در مناطق شهری و غیر شهری دارند می توان به تونل ها اشاره کرد. تونل هایی که در اعماق کم از سطح زمین ساخته می شوند، ممکن است تحت زلزله و روانگرایی خاک محل قرار گیرند. در این حالت روانگرایی خاک ممکن است باعث ایجاد نشست خاک، تغییر شکل پوشش تونل ها و بالا آمدگی سازه های زیرزمینی شود. گزارشات متعدد منتشره در این زمینه حاکی از خرابی های وسیع در تونل ها و سازه های زیرزمینی است<sup>[۱-۷]</sup>. به عنوان مثال گزارش های مربوط به زلزله Nanbu-Hyogoken (۱۹۹۵) نشان داد که تونل های فاضلاب و لوله ها تحت تأثیر روانگرایی خاک قرار گرفتند و بر اثر آن خرابی های فراوانی در منطقه مشاهده شده است. از دیگر حوادثی که خرابی های ناشی از روانگرایی در سازه های زیرزمینی رخ داده است می توان به زلزله های نیکاتای ژاپن (۱۹۶۴)، Luzon (۱۹۹۰)، Chi-Chi (۱۹۹۹) oki-Hokkaido Nansei (۱۹۹۳) اشاره کرد<sup>[۸-۱۰]</sup>. در

تونل ارزیابی شود. برای ارزیابی نتایج، یک حالت خاص به عنوان مدل مرجع معروفی شده و بقیه حالت با آن مقایسه می‌شود.



شکل ۱. نمایش تونل و مشخصات کلی مدل‌سازی.



شکل ۲. نمایش المان‌های واسطه.

کشسان خطی، و المان‌های آن از نوع تیر (Beam) است. این المان‌ها دوگره‌ی هستند و هرگره سه درجه آزادی دارد. در این نوع المان‌ها مقاومت خمشی سازه قابل مدل‌کردن است. لذا استفاده از این المان‌ها بررسی تغییرات نیروها و لشکر خمشی در پوشش تونل را ممکن می‌سازد. شکل ۱ مشخصات کلی مدل مورد نظر در خاک روان‌گرا را نشان می‌دهد. با توجه به آن که مدل‌سازی تونل در محیط خاکی هدف این نوشتار است، لازم است از المان‌های واسطه (شکل ۲) بین خاک و پوشش تونل استفاده شود. برای این منظور فاصله‌ی بین پوشش تونل و خاک با این المان‌ها پرمی شود<sup>[۱]</sup>. المان‌های واسطه در این مدل‌سازی دارای سختی برشی و قائم (Mpa) ۶۳ و زاویه‌ی اصطکاک ۱۵ درجه هستند. این مقادیر براساس مطالعات پیشین انتخاب شده‌اند<sup>[۱۵]</sup>.

در تحلیل‌های استاتیکی شرایط مرزی انتهای مدل به صورت مفصلی و دو طرف مدل به صورت غلتکی در نظر گرفته می‌شود. ولی در شرایط دینامیکی به عمل بازگشتن موج در زمان برخورد به مرزها، شرایط مرزی خاصی به منظور جذب اثرات موج در خود مورد نیاز است. برای این منظور از شرایط مرزهای آزاد (FF) استفاده شده است<sup>[۱۶]</sup>. لازم به ذکر است که این روش در آینین نامه‌ی تفاضل محدود پیوسته NESSI ثبت شده و از اعتبار خاصی برخوردار است<sup>[۱۷]</sup>. با توجه به موارد فوق تحلیل‌هایی انجام بدیرفته که نتایج آن حاکی از روان‌گرایی خاک تحت بار دینامیکی است، برای بررسی‌های بیشتر به چند مورد از نتایج حاصل از این تحلیل‌ها اشاره می‌شود.

## پردازش اطلاعات

براساس مطالعات انجام شده روی مدل مرجع، پس از اعمال بار دوره‌یی (سیکلی)، تش مؤثر کاهش یافته و میزان فشار آب حفره‌یی و کرنش برشی به شدت افزایش

## مشخصات مدل مرجع و نحوه مدل‌سازی

هدف از این مطالعه بررسی اثر روان‌گرایی خاک‌ها بر پوشش تونل است. برای بررسی این موضوع یک تونل را در لایه‌یی از خاک روان‌گرا مدل کرده و به ارزیابی تغییر شکل‌ها و نیروهای ایجاد شده در پوشش تونل می‌پردازم. در این مدل باید از روان‌گرایی خاک اطمینان حاصل کرد. لذا تغییرات فشار آب حفره‌یی در تعدادی از نقاط کنترل می‌شود تا اثرات آن در حین روان‌گرایی نشان داده شود. با توجه به مشخصات کلی مدل، برای مدل‌سازی باید از برنامه‌یی استفاده کرد که بتواند افزایش فشار آب حفره‌یی در حین روان‌گرایی را در نظر بگیرد. همچنین این برنامه باید بتواند المان‌سازی پوشش تونل را به خوبی انجام دهد. برای این منظور از نرم افزار FLAC که قادر است تمامی موارد مذکور را لحاظ کند، استفاده می‌شود. برای مدل‌سازی روان‌گرایی و افزایش فشار آب حفره‌یی از مدل Finn and Martin (Finn and Martin ۱۹۷۵) مدل رفتاری مناسبی برای ارزیابی روان‌گرایی است. استفاده می‌شود. خاک منطقه از نوع ماسه‌سیست متابع مطابق مشخصات جدول ۱ است. در مدل‌سازی‌ها چگالی خشک و نفوذپذیری خاک به ترتیب ( $Kg/m^3$ ) ۱۵۰ و  $(m/s)^{-1}$  در نظر گرفته می‌شود. سطح آب زیرزمینی نیز همسطح زمین است. مشخصات خاک منطقه براساس مطالعات موجود روان‌گرایی انتخاب شده است<sup>[۱۰, ۸, ۳]</sup>. ابعاد مدل بیش از ۵ برابر قطر حفاری در نظر گرفته می‌شود تا اثرات شرایط مرزی روی مقطع تونل تا حد ممکن کاهش یابد. لازم به ذکر است، در صورتی که فاصله‌ی مرزها از مدل تا حدود ۵ برابر عرض مدل باشد درصد اثرات خطای ناشی از تشن به حدود ۶ درصد می‌رسد<sup>[۱]</sup>. لذا از این طریق می‌توان از اثر مرزها بر تحلیل صرف نظر کرد.

بار لرزه‌یی به صورت یک شتاب هماهنگ با  $10^{\circ}$  سیکل رفت و برگشت است که به صورت رابطه‌ی ۱ تعریف می‌شود:

$$(1) \quad \ddot{u}_g(t) = A_g \sin(2\pi f t)$$

دامنه و فرکانس در مدل مرجع به ترتیب  $1/g = 10^{\circ}$  و  $A_g = 1 Hz$  مطابق مشخصات بار در مطالعات پیشین در نظر گرفته شده‌اند<sup>[۲]</sup>. همچنین میرایی از نوع میرایی محلی (Local Damping) و به مقدار (۵ درصد) در نظر گرفته شده است. تونل موردنظر این مطالعه، بخشی از متروی اصفهان است که قطر حفاری آن  $6,91$  متر است. پوشش تونل به صورت سگمنتی (قطعه‌قطعه) و ضخامت آن  $30$  سانتی‌متر است. مقدار خاک روی تاج تونل حدود  $3$  متر است. رفتار پوشش تونل به صورت

## جدول ۱. مشخصات مصالح و مدل مورد نظر.

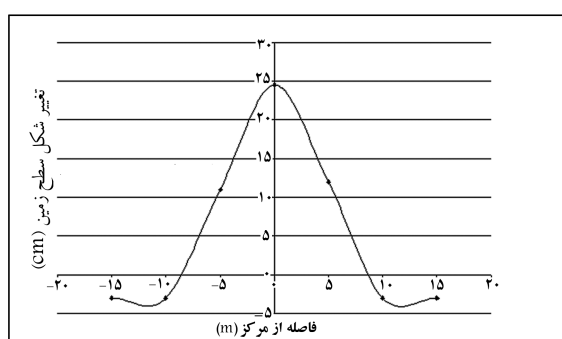
مشخصات خاک	واحد
G (مدول برشی) <sup>(۱)</sup>	Mpa
B (مدول بالک) <sup>(۲)</sup>	Mpa
φ	درجه
C	Kpa
(finn) C1 (مدل) <sup>(۳)</sup>	۰,۷۶
(finn) C2 (مدل) <sup>(۴)</sup>	۰,۵۲
(finn) C3 (مدل) <sup>(۵)</sup>	۰,۲
(finn) C4 (مدل) <sup>(۶)</sup>	۰,۵

می‌باید. در اشکال ۳ تا ۵ نمونه‌یی از تغییرات تنش مؤثر، فشار آب حفره‌یی و کرنش برشی (در عمق ۱۹ متری از سطح زمین)، پس از اعمال بار دوره‌یی نمایش داده شده است. با توجه به این اشکال میزان تنش مؤثر کاهش یافته و تقریباً معادل صفر می‌شود. در این حالت افزایش قابل توجهی در فشار آب حفره‌یی و کرنش برشی مشاهده می‌شود. این روند در بقیه‌ی نقاط نیز مشاهده می‌شود.

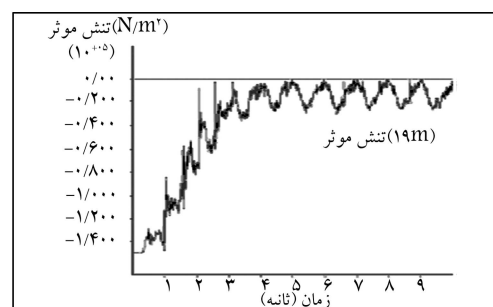
در شکل‌های ۶ و ۷ نیز تغییرات فشار آب حفره‌یی بر حسب زمان بارگذاری دینامیکی در تعدادی از نقاط بالا و پایین تونل مطالعه نمایش داده شده است. چنان‌که مشاهده می‌شود با افزایش زمان بارگذاری، میزان فشار آب حفره‌یی به شدت افزایش می‌یابد که این افزایش فشار آب حفره‌یی با کاهش تنش مؤثر (شکل ۳) همراه است. این امر حاکی از روانگرایی خاک و افزایش فشار آب حفره‌یی در شرایط زهکشی نشده است. یکی از پارامترهایی که بر اثر روانگرایی دچار تغییرات قابل توجهی می‌شود، مقاومت ماندگار است. چنانچه خاک مقاومت ماندگار خود را در حین بارگذاری لرزه‌یی به طور کامل از دست بدهد، دچار روانگرایی جریانی می‌شود و تغییر شکل‌های محیط به شدت افزایش می‌یابد. برای محاسبه‌ی مقاومت ماندگار روش‌های مختلفی وجود دارد. یکی از این روش‌ها استفاده از روش Stark و Mesri (۱۹۹۲) است<sup>[۱۴]</sup>. براساس نتایج حاصل از آنالیزهای انجام شده به نظر می‌رسد مقدار مقاومت ماندگار حاصل از این روش پس از اعمال بار دوره‌یی، برای اعماق کمتر از ۱۸ متر تقریباً معادل صفر است که این نمایانگر روانگرایی خاک بر اثر باروارده است. لذا به نظر می‌رسد از حدود عمق ۱۸ متر به بالا خاک کاملاً روان‌گرا شده است.

### بالآمدگی سازه‌ی زیرزمینی بر اثر روانگرایی خاک

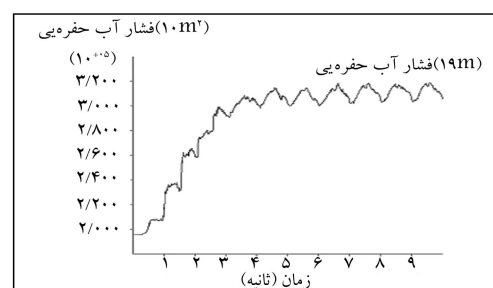
یکی از علل خرابی سازه‌های زیرزمینی در زمان وقوع روانگرایی خاک‌ها، بالآمدگی سازه و اثر آن بر تغییر مکان سطحی است. علت وقوع این پدیده زیادبودن فشار رو به بالای آب حفره‌یی در مقایسه با وزن سازه‌ی توخالی و سربار روی آن است<sup>[۱۵]</sup>. این خرابی‌ها علاوه بر سازه‌های زیرزمینی کوچک، در سازه‌های زیرزمینی بزرگ نیز مشاهده شده است<sup>[۱۶]</sup>. تحلیل‌های انجام شده در این مطالعات نشان می‌دهد، روانگرایی خاک سبب بالآمدگی سازه تونل شده است. در انتهای تحلیل مقدار این بالآمدگی ۴۲/۷ سانتی متر است که به نظر مقدار بزرگی است، ضمن آن که با ادامه‌ی تحلیل این روند افزایشی همچنان ادامه دارد و با افزایش زمان بارگذاری در دوره‌های بعدی، احتمال وقوع یک ناپایداری کلی در سیستم مشاهده می‌شود. شکل ۸ تغییر شکل سطح زمین در محل سازه‌ی زیرزمینی را نشان می‌دهد. براساس این شکل میزان بالآمدگی سطح زمین حدود ۲۴/۵ سانتی متر است که از مقدار بالآمدگی سازه کمتر است.



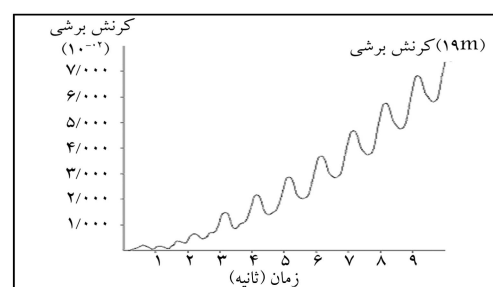
شکل ۸. تغییرات نشست و تورم سطحی نسبت به محور تونل.



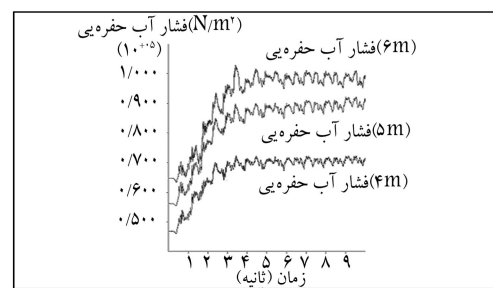
شکل ۳. تغییرات تنش مؤثر در عمق ۱۹ متری.



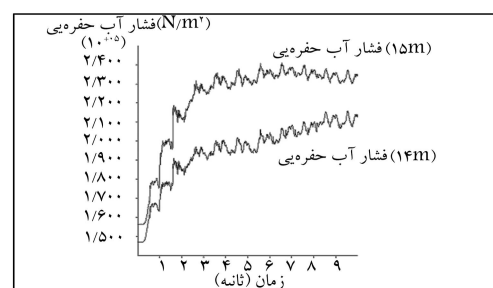
شکل ۴. تغییرات فشار آب حفره‌یی در عمق ۱۹ متری.



شکل ۵. تغییرات کرنش برشی در عمق ۱۹ متری.



شکل ۶. تغییرات فشار آب حفره‌یی در اعمق ۶-۴ متری (بالای تاج تونل).



شکل ۷. تغییرات فشار آب حفره‌یی در اعمق ۱۴ تا ۱۵ متری (پایین تاج تونل).

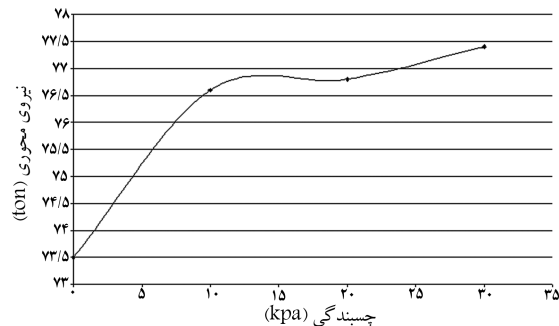
## ارزیابی نیروهای داخلی پوشش تونل

براساس نتایج حاصل از تحلیل‌های انجام شده روی مدل مرتع، بیشترین مقدار نیروی محوری و نیروی برشی در انتهای تحلیل به ترتیب  $73/5$  و  $9/7$  تن می‌شود. همچنین لنگر خمشی پوشش تونل در حين بارگذاری دوره‌ی  $\text{ta} = 16/5 \text{ (ton/m)}$  (در ثانیه  $9/2$ ) افزایش می‌یابد و با ادامه‌ی بارگذاری مقدار آن  $33$  درصد کاهش می‌یابد و به  $11/1 \text{ (ton/m)}$  رسید. به عبارت دیگر با تغییر جهت بارگذاری در دوره‌ی مختلف و تغییر مسیر حرکت خاک و سازه، لنگر خمشی در هر مرحله در یک جهت افزایش و در جهت دیگر با کاهش همراه خواهد بود. لذا در دوره‌های متواتی بارگذاری، لنگرهای مشتبه و منفی به ترتیج افزایش و کاهش می‌یابند. شایان ذکر است که نتایج حاصل از تحقیقات محققین نیز نشان می‌دهد که میزان لنگر خمشی در طول بارگذاری دینامیکی افزایش یافته و پس از چند دوره مقدار آن  $37$  درصد کاهش می‌یابد<sup>[۲]</sup>. این نکته حاکی از هم‌خوانی نتایج حاصله با نتایج تحقیقات ایشان است.

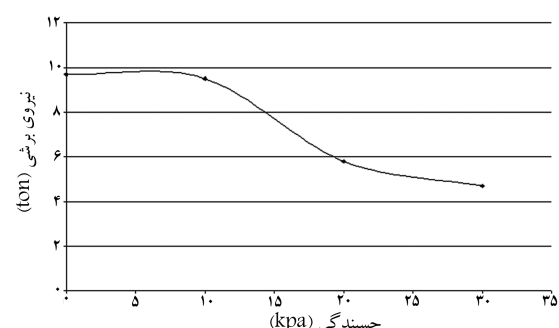
## بررسی اثر پارامترهای مختلف خاک

### بررسی اثر چسبندگی خاک

یکی از پارامترهای مهمی که در کاهش اثرات روان‌گردی تأثیر به سازی دارد، چسبندگی خاک است. با افزایش چسبندگی خاک، پتانسیل روان‌گردی به مقدار قابل توجهی کاهش می‌یابد. لذا انتظار می‌رود با افزایش چسبندگی خاک میزان بالاً‌آمدگی سازه، نیروها و تغییر شکل‌های پوشش تونل کاهش یابند. از این‌رو، تحلیل‌هایی با در نظر گرفتن چسبندگی‌های مختلف (بین  $30$  کیلوپاسکال) انجام شده، و اثر این پارامتر بر تغییرات نیروها و تغییر شکل‌ها مورد بررسی قرار گرفته است.



شکل ۹. نمایش تغییرات حداکثر نیروی محوری پوشش تونل با چسبندگی خاک.



شکل ۱۰. نمایش تغییرات حداکثر نیروی برشی پوشش تونل با چسبندگی خاک.

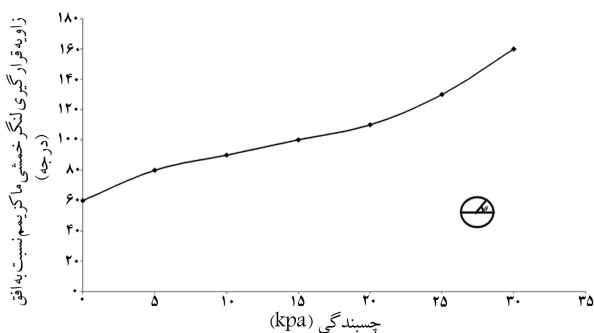
شکل‌های  $9$  و  $10$  تغییرات بیشینه‌ی نیروی محوری و برشی با افزایش چسبندگی خاک را نشان می‌دهند. با توجه به این شکل‌ها، با افزایش چسبندگی خاک میزان نیروی محوری به مقدار محدودی افزایش و مقدار نیروی برشی کاهش می‌یابد. در جدول  $2$  درصد تغییرات نیروهای محوری و برشی نسبت به مدل مرتع ارائه شده است. چنان‌که ملاحظه می‌شود، با افزایش میزان چسبندگی از صفر به  $10$  و  $30$  کیلوپاسکال میزان نیروی محوری حدود  $4/2$  و  $5/3$  درصد افزایش می‌یابد. لذا به نظر می‌رسد با افزایش مقدار محدودی چسبندگی، میزان تغییرات نیروی محوری کمی زیاد بوده و پس از آن تغییرات پارامتر اثر ناچیزی روی نیروی محوری دارد. اما نیروی برشی با افزایش چسبندگی خاک به مقدار قابل توجهی کاهش می‌یابد. با افزایش چسبندگی از صفر به  $30$  کیلوپاسکال میزان این نیرو تا حدود  $51/5$  درصد کاهش می‌یابد. علت این امر آن است که با افزایش چسبندگی خاک اثرات روان‌گردی کاهش یافته و با تغییر نوع خاک، پارامتر برشی به صورت جانبه به سازه وارد می‌شود.

مطالعات انجام شده درخصوص روند تغییرات بیشینه‌ی لنگر خمشی نشان

می‌دهد که اگرچه میزان این پارامتر نیز با افزایش چسبندگی خاک کاهش می‌یابد، ولی این روند کاهشی در تمامی نقاط مشاهده نمی‌شود. براساس نتایج حاصله افزایش چسبندگی خاک از صفر به  $25$  کیلوپاسکال با کاهش حدوداً  $56$  درصدی لنگر خمشی همراه است. در عوض موقعیت این لنگر در پوشش تونل تغییر کرده و به نظر می‌رسد که در خلاف جهت عقرهایی ساعت می‌چرخد. به عبارت دیگر، موقعیت لنگر خمشی بیشینه با توجه به چسبندگی خاک تغییر می‌کند. شکل  $11$  چرخش لنگر خمشی با افزایش چسبندگی خاک را نشان می‌دهد. در این شکل زاویه‌ی  $0$  زاویه‌ی لنگر خمشی بیشینه می‌باشد. این کاهش می‌شود، با افزایش چسبندگی خاک میزان بالاً‌آمدگی در شکل  $11$  بالاً‌آمدگی تونل بر اثر تغییرات چسبندگی خاک، که معادل جابه‌جایی قائم سازه تحت فشار آب حفره‌ی اضافی ناشی از روان‌گردی است، نشان داده شده است. چنان‌که مشاهده می‌شود، با افزایش چسبندگی خاک میزان بالاً‌آمدگی سازه به شدت کاهش می‌یابد. این کاهش در چسبندگی‌های پایین شدت پیشتری

جدول ۲. درصد تغییرات نیروهای محوری و برشی نسبت به مقادیر معادل آنها در مدل مرتع.

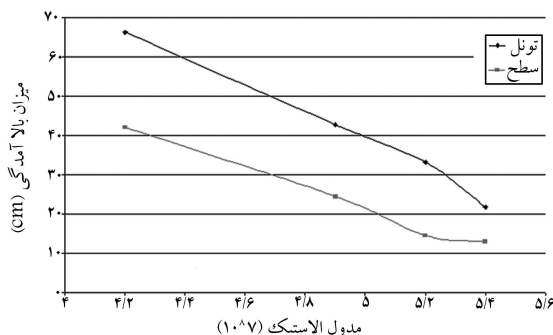
حداکثر نیروی مدل مرتع (%)	حداکثر نیروی برشی نسبت به مدل مرتع (%)	حداکثر نیروی (ton)	حداکثر نیروی برشی (ton)	حداکثر نیروی محوری (ton)	C (kN/m <sup>3</sup> )
۲	۴/۲	۹/۵	۷۶/۶	۱۰	
۴۰/۲	۴/۵	۵/۸	۷۶/۸	۲۰	
۵۱/۵	۵/۳	۴/۷	۷۷/۴	۳۰	



شکل ۱۱. نمایش تغییرات محل قرارگیری حداکثر لنگر خمشی تونل با چسبندگی خاک.

جدول ۳. تغییرات لنگر خمثی بیشینه پوشش تونل با مدول ارتجاعی خاک.

درصد افزایش لنگر به مدل مرجع	لنگر خمثی بیشینه (ton-m)	مدول ارتجاعی (N/m <sup>3</sup> ) (× 10 <sup>7</sup> )
-۴,۵	۱۰,۶	۴,۲
۰	۱۱,۱	۴,۹
۹,۰	۱۲,۱	۵,۲
۱۴,۴	۱۲,۷	۵,۴



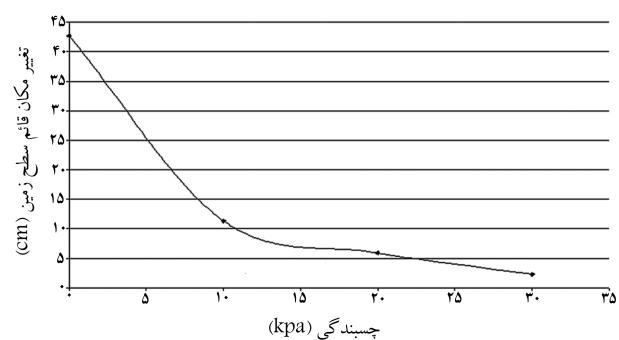
شکل ۱۴. نمایش تغییرات بالا آمدگی تونل و سطحی با تغییرات مدول ارتجاعی خاک.

در جدول ۳ تغییرات لنگر خمثی، و در شکل ۱۴ تغییرات بالا آمدگی سازه و سطح زمین با تغییر مدول ارتجاعی خاک ارائه شده است. براساس نتایج حاصله، افزایش مدول ارتجاعی به تغییر انعطاف‌پذیری خاک، و درنتیجه کاهش بالا آمدگی سازه و افزایش لنگر خمثی پوشش تونل خواهد انجامید. این تغییرات به اندازه‌یی است که با افزایش ۱۰ درصدی مدول ارتجاعی خاک (نسبت به مدل مرجع)، میزان لنگر خمثی تا ۱۴,۴ درصد افزایش و میزان بالا آمدگی سازه تا ۴۹ درصد (شکل ۱۴) کاهش می‌یابد. همچنین زمانی که میزان مدول ارتجاعی ۱۴ درصد کاهش می‌یابد، میزان لنگر خمثی ۴,۵ درصد کاهش و مقدار بالا آمدگی سازه ۵۵ درصد افزایش می‌یابد. این در حالی است که نتایج حاصله حاکی از آن است که تغییرات نیروهای محوری و برشی پوشش تونل تغییر چندانی نکرده است. لذا تغییر خواص ارتجاعی خاک بر بالا آمدگی ناشی از روان‌گرایی و تغییرات لنگر خمثی پوشش تونل نقش به سرزایی دارد. علت این امر افزایش مدول ارتجاعی خاک و درنتیجه تغییر خاصیت انعطاف‌پذیری خاک است.

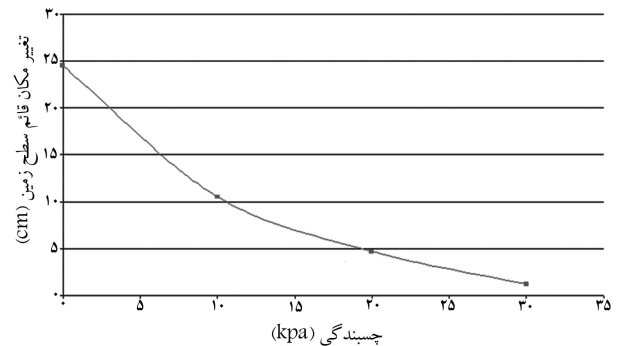
#### بررسی اثر چگالی اشباع

یکی از پارامترهایی که در تعریف مشخصات خاک مورد استفاده قرار می‌گیرد، وزن مخصوص حالت اشباع خاک است. برای بررسی اثر این پارامتر بر تغییرات نیروهای تغییر شکل‌های پوشش تونل، تحلیل‌هایی برای مقادیر مختلف وزن مخصوص اشباع خاک انجام شده، که حلالهای نتایج آن در جدول ۴ و شکل‌های ۱۵ تا ۱۷ نمایش داده شده است. براساس نتایج حاصله از این تحلیل‌ها با افزایش وزن مخصوص اشباع خاک، میزان لنگر خمثی و نیروهای برشی و محوری پوشش تونل افزایش می‌یابد. علت این امر افزایش وزن واحد حجم توده‌ی خاک روی تاج تونل است که سبب افزایش نیروهای وارد بر پوشش تونل می‌شود.

همچنین با توجه به وزن خاک روی تونل، میزان تغییر مکان رو به بالا ناشی از فشار آب کاهش می‌یابد. این کاهش تا حدی است که مقدار بالا آمدگی سازه، با تغییر



شکل ۱۲. نمایش تغییرات بالا آمدگی تونل با چسبندگی خاک.



شکل ۱۳. نمایش تغییرات بالا آمدگی سطح زمین با چسبندگی خاک (در محل محور تونل).

داشته و با افزایش این پارامتر میزان بالا آمدگی سازه کاهش می‌یابد. علت این امر کاهش پتانسیل روان‌گرایی با افزایش چسبندگی خاک است که درنتیجه‌ی آن فشار آب حفره‌یی اضافی و میزان بالا آمدگی سازه نیز کاهش می‌یابد. شکل ۱۳ نیز تغییرات بالا آمدگی سطح زمین در محل محور تونل را بر اثر تغییرات چسبندگی خاک نشان می‌دهد. با مقایسه‌ی شکل‌های ۱۲ و ۱۳ می‌توان دریافت که با افزایش چسبندگی خاک میزان بالا آمدگی سازه و سطح زمین کاهش قابل توجهی می‌یابد. لذا می‌توان با افزایش چسبندگی (سیماتانتسیون) خاک پتانسیل روان‌گرایی آن را کاهش داد و از ناپایداری کلی سیستم به عملت روان‌گرایی خاک جلوگیری کرد.

#### اثر تغییر مدول ارتجاعی خاک

از پارامترهایی که انعطاف‌پذیری خاک را نشان می‌دهند، می‌توان به ضرایب ارتجاعی و پواسون خاک اشاره کرد. در نرم افزار FLAC این پارامترها با استفاده از مقادیر مدول برشی و مدول بالک به صورت رابطه‌های ۲ و ۳ تعریف می‌شوند:

$$K = \frac{E}{3(1-2\nu)} \quad (2)$$

$$G = \frac{E}{2(1+\nu)} \quad (3)$$

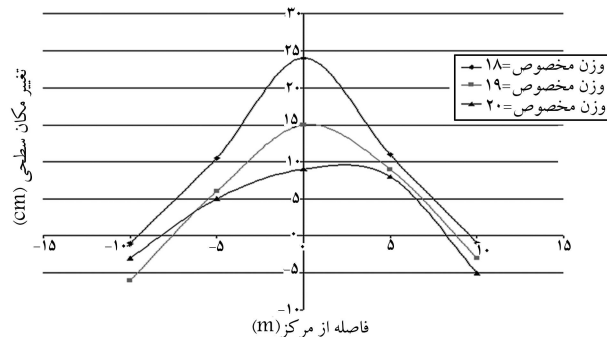
با توجه به این رابطه‌ها مقادیر ضریب ارتجاعی ( $E$ ) و ضریب پواسون ( $\nu$ ) از مدول‌های بالک ( $K$ ) و برشی ( $G$ ) به صورت زیر محاسبه می‌شوند:

$$\nu = \frac{3K - 2G}{6K + 2G} \quad (4)$$

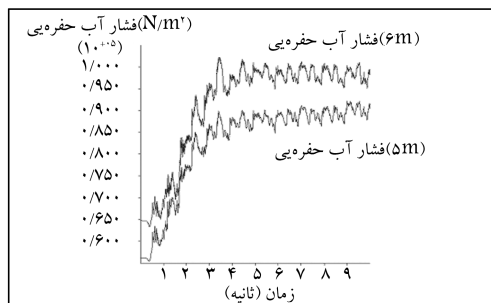
$$E = \frac{9KG}{2K + G} \quad (5)$$

جدول ۵. درصد بالا آمدگی سطح زمین به بالا آمدگی سازه.

بالا آمدگی سطح زمین به بالا آمدگی سازه (%)	بالا آمدگی سطح زمین (cm)	بالا آمدگی سطح زمین (cm)	$\gamma_{sat}$ (kN/m³)
۵۶	۲۴	۴۲,۷	۱۸
۴۷	۱۵	۳۲,۳	۱۹
۳۹	۹	۲۲,۵	۲۰



شکل ۱۸. نمایش تغییر مکان قائم سطح زمین و اثر وزن مخصوص خاک بر بالا آمدگی سطحی.



شکل ۱۹. تغییرات فشار آب حفره‌یی در عمق ۵ و ۶ متری از سطح زمین (بالاتر از تاج توپل،  $K = 10^{-4}$ ).

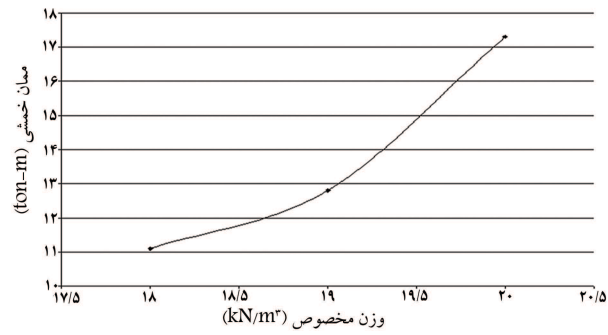
را نشان می‌دهد. با توجه به این جدول، با افزایش میزان وزن مخصوص خاک، درصد بالا آمدگی سطح زمین به بالا آمدگی سازه کاهش می‌یابد.

### بررسی اثر نفوذپذیری خاک

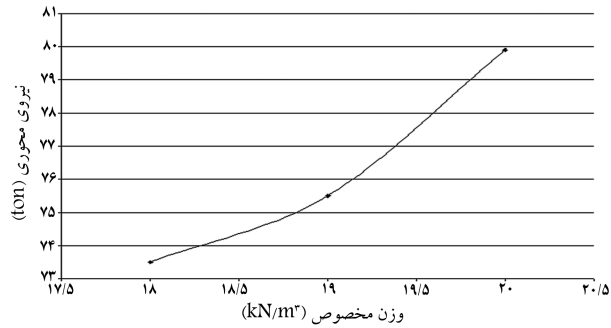
با افزایش نفوذپذیری خاک، فشار آب حفره‌یی کاهش یافته و سبب می‌شود نیروهای وارده به پوشش توپل کاهش یابد. مطالعات انجام شده نشان می‌دهد که با افزایش نفوذپذیری از  $(m/sec)^{-1}$  به  $10^{-3}$  (m/sec) میزان لنگر خشمی و نیروی برشی به ترتیب  $16,2\%$  و  $3,0\%$  درصد افزایش می‌یابد، ولی میزان نیروی محوری به اندازه‌ی  $2,3\%$  درصد کاهش یافته است. همچنین میزان بالا آمدگی توپل بر اثر فشار آب حفره‌یی از  $42,7$  سانتی متر به  $40,5$  سانتی متر می‌رسد. لذا میزان بالا آمدگی سازه حدود  $5$  درصد کاهش یافته است. شکل ۱۹ تغییرات فشار آب حفره‌یی برای دو نقطه‌ی بالای تاج توپل و نفوذپذیری ( $m/sec$ ) $^{-1}$ ،  $10^{-4}$  و  $20$  همان نمودار را برای نفوذپذیری ( $m/sec$ ) $^{-1}$  نشان می‌دهد. با توجه به این اشکال سطح فشار آب حفره‌یی با افزایش نفوذپذیری کاهش یافته است. این امر برای دو نقطه‌ی زیر کف توپل نیز

جدول ۴. تغییرات بیشینه‌ی نیروها و بالا آمدگی پوشش توپل با وزن مخصوص اشیاع خاک.

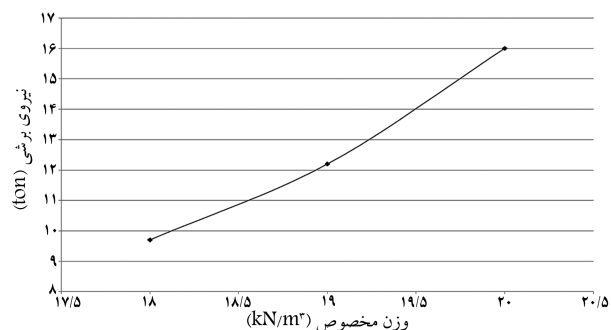
بالا آمدگی سازه (cm)	نیروی برشی (ton)	نیروی محوری (ton)	ممان خشی (ton/m)	$\gamma_{sat}$ (kN/m³)
۴۲,۷	۹,۷	۷۳,۵	۱۱,۱۴	۱۸
۳۲,۲	۱۲,۲	۷۵,۵	۱۲,۷۵	۱۹
۲۲,۵	۱۶,۰	۷۹,۹	۱۷,۲۷	۲۰



شکل ۱۵. تغییرات حداکثر لنگر خشمی با تغییرات وزن مخصوص خاک.



شکل ۱۶. تغییرات حداکثر نیروی محوری با تغییرات وزن مخصوص خاک.



شکل ۱۷. تغییرات حداکثر نیروی برشی با تغییرات وزن مخصوص خاک.

چگالی اشیاع خاک از  $18$  به  $20$  کیلونیوتون بر متر مکعب از  $42,7$  سانتی متر به  $22,5$  سانتی متر تغییر می‌کند. شکل ۱۸ میزان بالا آمدگی سطح زمین برآثر حفاری را برای تغییرات وزن مخصوص اشیاع خاک نشان می‌دهد. چنان که مشاهده می‌شود میزان بالا آمدگی سطح زمین با افزایش وزن مخصوص خاک کاهش می‌یابد. این رابطه‌ی مستقیم با تغییرات تعییر مکان قائم سازه زیرزمینی دارد. جدول  $5$  درصد کاهش بالا آمدگی سطح زمین نسبت به سازه‌ی زیرزمینی (توپل مورد بحث)

صحیحی از آنها وجود داشته باشد باعث می‌شود تحلیل‌ها تا حد زیادی تحت تأثیر قرار گیرد. بعضی از این پارامترها مفهوم خاصی را به همراه دارند. مثلًا پارامتر  $C_1$  به عنوان شیب خط کرنش حجمی صفر در نظر گرفته می‌شود. اما در هر صورت این  $C_1$  پارامتر به صورت ضرایب ثابت آزمایش سه‌محوری دوره‌یی در نظر گرفته می‌شوند. هدف از بررسی تغییر این ضرایب ارائه شناخت بیشتر از میزان تأثیر هر یک از این پارامترها در تحلیل دینامیکی است. رابطه‌ی این ضرایب با تغییرات کرنش حجمی به صورت رابطه‌ی زیر بیان می‌شود:

$$\Delta \epsilon_{vd} = C_1 (\gamma - C_2 \epsilon_{vd}) + \frac{C_2 \epsilon_{vd}}{\gamma + C_2 \epsilon_{vd}} \quad (6)$$

با توجه به این رابطه، تغییرات کرنش حجمی تابعی از این ضرایب ثابت است و تغییر آنها بر تغییرات کرنش حجمی و درنتیجه افزایش فشار آب حفره‌یی تأثیر به سزاپای خواهد داشت. از این رو با بررسی تغییرات این ضرایب، تأثیر آنها بر روان‌گرایی محیط ارزیابی می‌شود. هنگامی که کرنش برشی ( $\gamma$ ) صفر می‌شود مقدار کرنش حجمی ( $\Delta \epsilon_{vd}$ ) نیز صفر می‌شود که می‌توان برای بیان ارتباط بین این ضرایب رابطه‌ی زیر را در نظر گرفت:

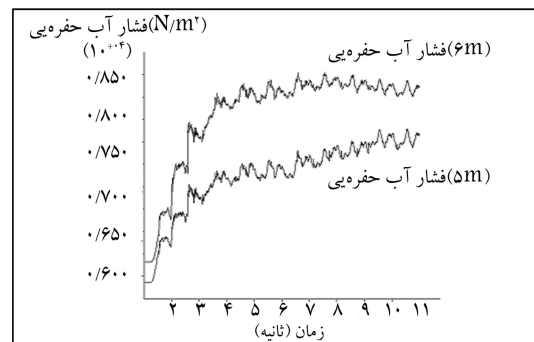
$$C_1 C_2 C_4 = C_2 \quad (7)$$

لذا ضریب  $C_2$  تابعی از بقیه‌ی ضرایب خواهد بود و به تهایی محاسبه نمی‌شود. از این رو تأثیر سه ضریب دیگر (با درنظر گرفتن اثر آنها در مقدار ضریب  $C_2$ ) بر روان‌گرایی محیط و تغییرات نیروها و تغییر شکل‌های پوشش تونل بررسی می‌شود.

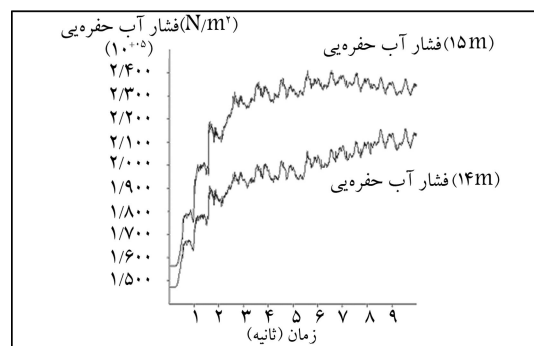
جدول ۶ تغییر لنگر خمشی بیشینه در ثانیه‌ی دهم را تغییر این ضرایب نشان می‌دهد. براساس این جدول با کاهش مقدار ضریب  $C_1$ ، مقدار لنگر خمشی نیز کاهش می‌یابد. مثلاً زمانی که میزان این ضریب حدود ۶۷ درصد کاهش می‌یابد (نسبت به مدل مرجع)، مقدار لنگر خمشی ۱۱/۷ درصد کاهش خواهد یافت. در این حالت میزان فشار آب حفره‌یی در نقاط مختلف نیز کاهش می‌یابد. عملت کاهش فشار آب حفره‌یی و لنگر خمشی با کاهش ضریب  $C_1$ ، کاهش اثرات روان‌گرایی است. براساس رابطه‌های ۶ و ۷ با افزایش مقدار ضریب  $C_1$ ، مقدار ضریب  $C_2$  و درنتیجه مقدار تغییرات کرنش حجمی افزایش می‌یابد. لذا به نظر رسید اثرات روان‌گرایی خاک نیز افزایش خواهد داشت. این افزایش را می‌توان در نمودارهای فشار آب حفره‌یی (شکل ۲۳ تا ۲۸) که میزان فشار آب حفره‌یی در بالا و پایین تونل را با افزایش ضریب  $C_1$  نشان می‌دهند، مشاهده کرد. لذا تغییر مکان قائم تونل، و به عبارتی بالآمدگی‌های سازه کاهش می‌یابد. در شکل ۲۹ کاهش بالآمدگی‌های تونل و سطح

جدول ۶. تغییر لنگر خمشی ماکزیمم با تغییر پارامترهای مدل فین.

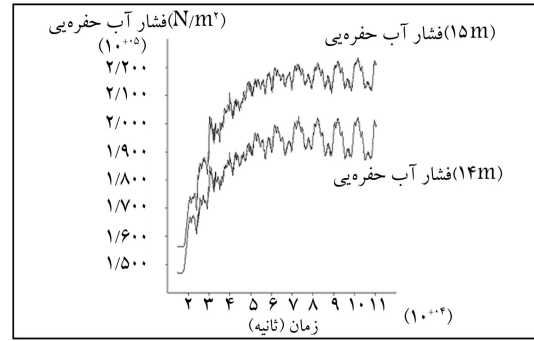
درصد افزایش لنگر نسبت به مدل مرجع	لنگر خمشی بیشینه (ton/m)	$C_1$	$C_2$	$C_3$	$C_4$
----	۱۱/۱	۰,۵۰	۰,۲۰	۰,۵۲	۰,۷۶
-۱/۸	۱۰/۹	۰,۵۰	۰,۱۳	۰,۵۲	۰,۵۰
-۱۱/۷	۹/۸	۰,۵۰	۰,۰۷	۰,۵۲	۰,۲۵
-۱۴/۴	۹/۵	۰,۵۰	۰,۱	۰,۲۵	۰,۷۶
۲/۷	۱۱/۴	۰,۵۰	۰,۲۹	۰,۷۵	۰,۷۶
۵/۴	۱۱/۷	۰,۲۵	۰,۱۰	۰,۵۲	۰,۷۶
-۰,۹	۱۱/۰	۰,۷۵	۰,۳۰	۰,۵۲	۰,۷۶



شکل ۲۰. تغییرات فشار آب حفره‌یی در اعماق ۵ و ۶ متری از سطح زمین (بالاتر از تاج تونل،  $K = 10^{-3}$ ).



شکل ۲۱. تغییرات فشار آب حفره‌یی در اعماق ۱۴ و ۱۵ متری از سطح زمین (پایین‌تر از کف تونل،  $K = 10^{-4}$ ).

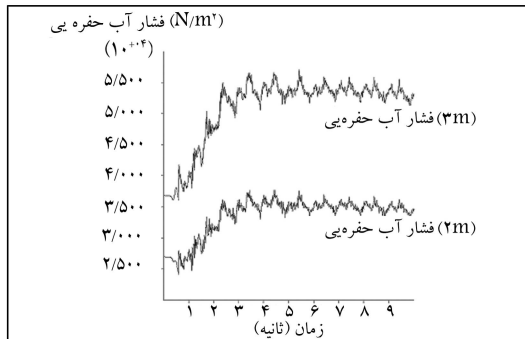


شکل ۲۲. تغییرات فشار آب حفره‌یی در اعماق ۱۴ و ۱۵ متری از سطح زمین (پایین‌تر از کف تونل،  $K = 10^{-3}$ ).

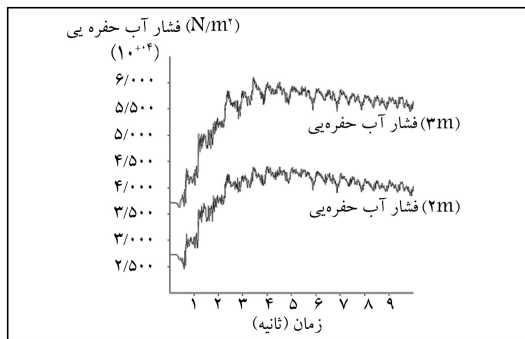
موردن بررسی قرار گرفته که در شکل‌های ۲۱ و ۲۲ نمایش داده شده است. لذا به نظر می‌رسد با افزایش میزان نفوذپذیری خاک، فشار آب حفره‌یی اضافی ناشی از روان‌گرایی کاهش می‌یابد. این موضوع توسط دیگر محققین نیز مورد بررسی قرار گرفت و نتایج حاصله با نتایج به دست آمده از این بررسی مطابقت دارد.<sup>[۲]</sup>.

### بررسی اثر پارامترهای مدل رفتاری Finn

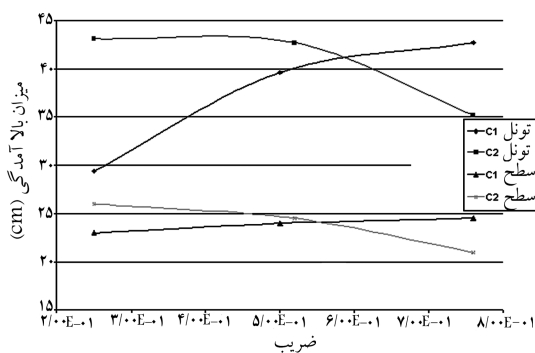
یکی از مواردی که در تحلیل‌های دینامیکی با استفاده از مدل رفتاری Finn با آن مواجه می‌شویم تغییر پارامترهای  $C_1$  تا  $C_4$  است که از آزمایش‌های سه‌محوری دوره‌یی حاصل می‌شود. عدم توجه به تعیین این پارامترها بدون آن که شناخت



شکل ۲۷. نمایش تغییرات فشار آب حفره برای نقاطی از بالای تونل ( $C_1 = 50^\circ / 25^\circ$ ).

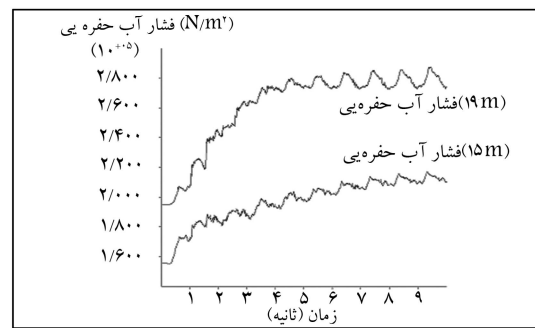


شکل ۲۸. نمایش تغییرات فشار آب حفره برای نقاطی از بالای تونل ( $C_1 = 50^\circ / 25^\circ$ ).

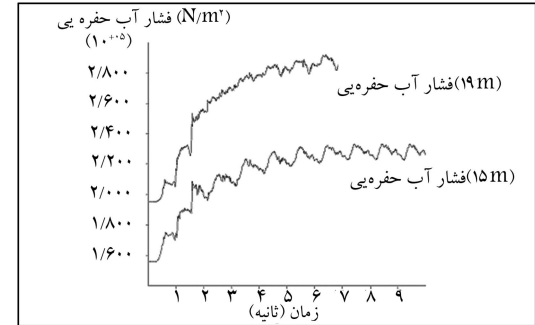


شکل ۲۹. نمایش تغییرات بالا آمدگی سازه و سطح زمین در محل محور تونل با تغییرات ضرایب  $C_1$  و  $C_2$ .

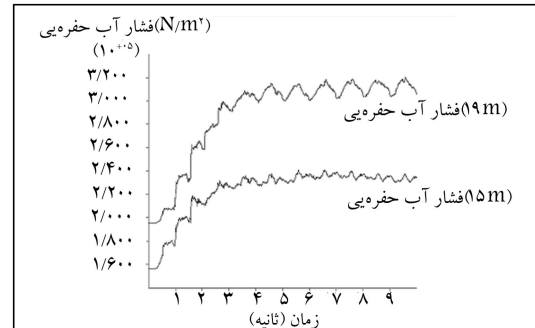
کاهش و بخش دوم آن افزایش را نشان می‌دهد. از این رو تغییر مقدار این ضریب بسته به شرایط تحلیل می‌تواند باعث افزایش یا روان‌گردایی شود. در جدول ۶ تغییر لنگر خشی بر اثر تغییر این پارامتر ارائه شده است. براین اساس، در شرایط کنونی با افزایش ضریب  $C_2$  میزان لنگر خشی افزایش می‌یابد. همچنین مطابق شکل ۲۸، با افزایش میزان این ضریب مقدار بالا آمدگی تونل و سطح زمین کاهش می‌یابد. لذا به نظر می‌رسد با افزایش این ضریب اثرات روان‌گردایی محدود می‌شود. افزایش ضریب  $C_4$  نیز مانند ضریب  $C_2$ ، بخشی از معادله ۹ را افزایش و بخشی دیگر را کاهش می‌دهد و در تحلیل‌ها روند کاملاً مشخصی ندارد. در تحلیل‌های انجام شده که نتایج آن در جدول ۶ ارائه شده است، با افزایش این ضریب میزان لنگر خشی به مقدار محدودی کاهش یافته است. لذا به نظر می‌رسد افزایش این ضریب برخلاف ضریب  $C_2$  اثرات روان‌گردایی را افزایش می‌دهد. البته روند افزایشی چندان مشخص نیست و بسته به شرایط تحلیل تغییر می‌کند.



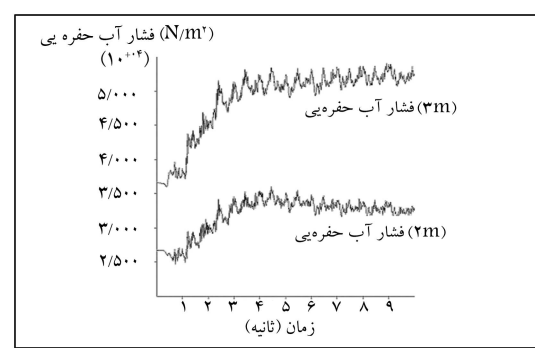
شکل ۲۳. نمایش تغییرات فشار آب حفره برای نقاطی از زیر تونل ( $C_1 = 0^\circ / 25^\circ$ ).



شکل ۲۴. نمایش تغییرات فشار آب حفره برای نقاطی از زیر تونل ( $C_1 = 0^\circ / 25^\circ$ ).



شکل ۲۵. نمایش تغییرات فشار آب حفره برای نقاطی از زیر تونل ( $C_1 = 0^\circ / 25^\circ$ ).



شکل ۲۶. نمایش تغییرات فشار آب حفره برای نقاطی از زیر تونل ( $C_1 = 0^\circ / 25^\circ$ ).

زمین بر اثر افزایش این ضریب نشان داده شده است. براساس این شکل با کاهش ۳۴ درصدی ضریب  $C_1$ ، میزان بالا آمدگی سازه حدود ۳۱ درصد کاهش می‌یابد. با افزایش مقدار  $C_2$ ، مقدار  $C_2$  نیز افزایش می‌یابد. لذا بخش اول معادله ۶

۳. میزان بالاً‌آمدگی سازه با افزایش چسبندگی خاک به شدت کاهش می‌یابد. این کاهش در چسبندگی‌های پایین شدت بیشتری دارد. براساس مطالعات انجام شده، با تغییر چسبندگی از صفر به  $10$  کیلوپاسکال میزان بالاً‌آمدگی  $55$  درصد کاهش می‌یابد که این امر نیز به دلیل کاهش پتانسیل روان‌گرایی با افزایش چسبندگی خاک است.

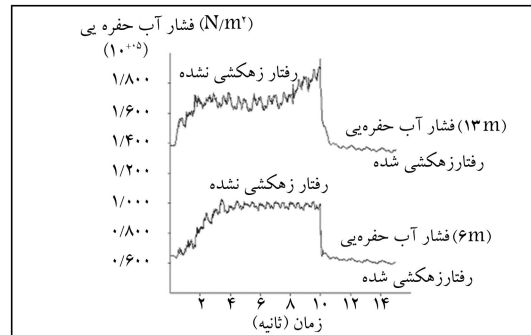
۴. با افزایش مدول ارجاعی خاک، بالاً‌آمدگی سازه کاهش و لنگر خمشی پوشش تونل افزایش می‌یابد. بررسی‌ها نشان می‌دهند که با افزایش  $10$  درصدی مدول ارجاعی خاک میزان لنگر خمشی تا  $14/4$  درصد افزایش، و میزان بالاً‌آمدگی سازه تا  $49$  درصد کاهش می‌یابد. همچنین زمانی که میزان مدول ارجاعی  $14$  درصد کاهش می‌یابد، میزان لنگر خمشی  $4/5$  درصد کاهش و مقدار بالاً‌آمدگی سازه  $55$  درصد افزایش می‌یابد. این در حالی است که تغییرات نیروهای محوری و برشی پوشش تونل تغییر چندانی نکرده است. لذا تغییر خواص ارجاعی خاک بر اثرات بالاً‌آمدگی ناشی از روان‌گرایی و تغییرات لنگر خمشی پوشش تونل نقش به‌سزایی دارد.

۵. میزان تغییر مکان رو به بالای ناشی از فشار آب و میزان بالاً‌آمدگی سطح زمین با افزایش وزن مخصوص خاک، کاهش می‌یابد. مطالعات انجام شده نشان می‌دهند زمانی که وزن مخصوص از  $18$  به  $20$  کیلونیوتون بر مترمکعب می‌رسد، بالاً‌آمدگی سازه حدود  $47$  درصد کاهش می‌یابد. همچنین درصد بالاً‌آمدگی سطح زمین به بالاً‌آمدگی سازه از  $56$  درصد به  $39$  درصد می‌رسد که این امر حاکی از کاهش درصد بالاً‌آمدگی سطح زمین نسبت به سازه‌ی زیرزمینی (تونل مورد بحث)، با افزایش وزن مخصوص سازه است. ضمن آن که میزان نیروی محوری، برشی و لنگر خمشی پوشش تونل نیز افزایش می‌یابد.

۶. با افزایش نفوذپذیری از  $(m/sec)^{-4}$  به  $10^{-3}$  ( $m/sec$ ) درصد کاهش میزان لنگر خمشی و نیروی برشی به ترتیب  $16/2$  و  $3/0$  درصد افزایش می‌یابد ولی میزان نیروی محوری  $2/3$  درصد کاهش می‌یابد. در این حالت حدود  $5$  درصد میزان بالاً‌آمدگی سازه کاهش یافته است. لذا به نظر می‌رسد با افزایش نفوذپذیری خاک، فشار آب حفره‌یی کاهش یافته و سبب می‌شود نیروهای وارده به پوشش تونل و بالاً‌آمدگی سازه نیز کاهش یابد.

۷. تغییر ضرائب مدل رفتاری Finn تأثیر به‌سزایی در تغییرات کرنش حجمی و درنتیجه افزایش فشار آب حفره‌یی خواهد داشت. مطالعات نشان داد که با کاهش  $67$  درصدی ضرائب  $C_1$  مقدار لنگر خمشی پوشش  $11/7$  درصد کاهش می‌یابد. در این حالت میزان فشار آب حفره‌یی در نقاط مختلف محیط و بالاً‌آمدگی‌های سازه نیز با کاهش همراه است. همچنین با کاهش  $34$  درصدی ضرائب  $C_1$  میزان بالاً‌آمدگی سازه حدود  $31$  درصد کاهش می‌یابد. این کاهش لنگر خمشی و بالاً‌آمدگی سازه به دلیل کاهش اثرات روان‌گرایی خاک با کاهش ضرائب  $C_1$  است. ضمن آن که افزایش ضرائب  $C_2$  و  $C_4$  در مدل رفتاری Finn روند کاملاً مشخصی را نشان نمی‌دهند.

۸. با اعمال شرایط زهکشی شده در حالت دینامیکی تا حدود  $10$  درصد از میزان نیروها و لنگر خمشی پوشش تونل کاسته می‌شود. به عبارت دیگر می‌توان دریافت که اعمال شرایط زهکشی سبب می‌شود فشار آب حفره‌یی اضافی به شدت از بین بود و درنتیجه اثرات روان‌گرایی نیز به شدت کاهش می‌یابد. در این حالت میزان بالاً‌آمدگی سازه و میزان نیروها و لنگر خمشی پوشش تونل نیز به مقدار محدودی کاهش می‌یابند.



شکل ۳.۰. نمایش تغییرات فشار آب حفره‌یی برای دو نقطه در بالا (عمق  $6$  متری) و پایین (عمق  $13$  متری) تونل در شرایط زهکشی نشده و زهکشی شده.

## اثر شرایط زهکشی

با توجه به کوتاه‌بودن مدت زمان زلزله، شرایط حاکم بر محیط به صورت زهکشی نشده است؛ لذا در منطقه فشار آب حفره‌یی اضافی تشکیل می‌شود که این امر سبب تغییر شرایط محیطی و ایجاد روان‌گرایی در خاک می‌شود. اما پس از روان‌گرایی شرایط به حالت زهکشی شده تبدیل می‌شود و فشار آب حفره‌یی اضافی از بین می‌رود. درنتیجه اثرات روان‌گرایی به شدت کاهش می‌یابد. از این رو تحلیل‌های برای شرایط زهکشی شده پس از تحلیل‌های روان‌گرایی که در شرایط زهکشی نشده انجام شده، صورت پذیرفته است. در شکل ۳۰ کاهش فشار آب حفره‌یی پس از روان‌گرایی در خاک ماسه‌یی نمایش داده شده است. چنان‌که مشاهده می‌شود، میزان فشار آب حفره‌یی پس از اعمال شرایط زهکشی به شدت کاهش می‌یابد. در این حالت زمان بارگذاری زهکشی نشده  $10$  ثانیه است. همچنین زمان لازم برای زهکشی تا زمانی که به حالتی پایدار برسد  $14$  ثانیه در نظر گرفته شده است. در این شرایط به دلیل کاهش فشار آب حفره‌یی زیر تونل مقداری از بالاً‌آمدگی که قبلاً برای شرایط غیر زهکشی رخ داده است کاهش می‌یابد. ضمن آن که از میزان نیروها و لنگر خمشی پوشش تونل با وجود بار دینامیکی (با توجه به اعمال شرایط زهکشی شده) به مقدار محدودی (تا حدود  $10$  درصد) کاسته می‌شود.

## نتیجه‌گیری

در این نوشتار با بررسی تأثیر روان‌گرایی خاک بر تونل‌های پوشش‌دار، اثر پارامترهای مختلف بر تغییرات نیروها و تغییر شکل‌های پوشش مورد ارزیابی قرار گرفت، که نتایج حاصله عبارت‌اند از:

۱. با افزایش مقدار محدودی چسبندگی، میزان تغییرات نیروی محوری زیاد شده و پس از آن تغییر این پارامتر اثر ناچیزی بر نیروی محوری دارد. این مطالعات حاکی از آن است که افزایش چسبندگی از صفر به  $30$  کیلوپاسکال میزان این نیرو را تا حدود  $51/5$  درصد کاهش می‌دهد. ضمن آن که نیروی برشی نیز با افزایش چسبندگی خاک به مقدار قابل توجهی کاهش می‌یابد.
۲. تغییر چسبندگی خاک از صفر به  $25$  کیلوپاسکال، حدود  $56$  درصد میزان لنگر خمشی را کاهش می‌دهد. همچنین موقعیت لنگر خمشی بیشینه در پوشش تونل با افزایش این پارامتر در خلاف جهت عقربه‌ی ساعت می‌چرخد.

## منابع

1. "Japanese Society of Soil Mechanics and Foundation Engineering", Tohoku Branch, Report on the Damage Investigation of the 1983 Nihonkai-Chubu Earthquake; (1986) (in Japanese).
2. Japan Society of Civil Engineers. Reconnaissance Report on the July 16, 1990 Luzon Earthquake, the Philippines; (1993) (in Japanese).
3. Khoshnoudian, F. and Shahrouz I. "Numerical analysis of the seismic behavior of tunnels constructed in liquefiable soils", *Soils and Foundations*, **42** (6), pp. 1-8, (2002).
4. Koseki. J.; Matsuo. O.; Ninomiya, Y.and Yoshida, T. Uplift of Serer manholes during the 1993 Kushiro-oki earthquake, *Soil Foundations*, **37**, pp. 109-121, (1997).
5. Liu, H.and Song, E. "Seismic response of large underground structures in liquefiable soils subjected to horizontal and vertical earthquake excitations", *Computers and Geotechnics*, **32**, Iss 4, pp. 223-244, (June 2005).
6. Matsumoto, J. "Sanitary facilities", In: Kawasumi, . editor. *General report on the Niigata earthquake of 1964, Tokyo Electrical Engineering College Press* (1968).
7. Tokimatsu, K.; Suzuki, Y.and Tamura, S. "Preliminary report on the geotechnical aspects of 1993 Hokkaido Nansei-oki Earthquake", *13th Int. Conf on Soil Mechanics and Foundations Engineering, New Delhi* (1994).
8. Chou, H.; Yang, C.; Hsieh, B.and Chang, S. "A study of liquefaction related damages on shield tunnels", *Tunneling and Underground Space Technology*, **16**, pp. 185-193, (2001).
9. Cundall, et al. "Fast Lagrangian Analysis of Continua Manual", Online Manual, (2001)
10. Pashang Pishe, g. "Mechanism of soil deformation due to double lenses liquefaction and critical depth determination" Msc. Thesis submitted in Cicil Eng. Faculty of Amirkabir Univ. of Technology-Iran, (2004).
11. Puebla, H.and Atukoral, U.D. "Effect of liquefaction and soil-structure interaction on response spectra Flac and Numerical Modeling in geomechanics", *Proceedings of the second international flac symposium Lyon, France*, 20-31 (October 2001).
12. Whitman, R.V.and Lambe. P.C. "Effect of boundary conditions upon centrifuge experiments using ground motion simulation", *Geotech Test J* **9**, pp. 61-71, (1986).
13. Cundall, P.A.; Hansteen, H.; Lacasse, S. and Selnes, P.B. "NESSI-Soil Structure Interaction Program for Dynamic and Static Problems", Norwegian Geotechnical Institute, Report 51508-9.
14. Kramer, S. "Geotechnical Earthquake Engineering", Prentice-Hall,inc, (1996).
15. Hamada, M.; Isoyama, R.;and Wakamatsu, K. "Liquefaction induced ground displacement and its related damage to lifeline facilities", *Soils Foundations*, **36**, pp. 81-97, (1996).
16. Schmidt, B. and Hashash, Y.S.T. "US immersed tube retrofit", *Tunnels Tunneling Int*, **30**, pp.22-24, (1998).